

河岸侵食に関する野外観測

京都大学防災研究所 正員 村本嘉雄 正員 藤田裕一郎
南海電気鉄道 正員 宮坂裕文

1.まえがき 昨年は、小貝川や石狩川などの氾濫や、河岸侵食に伴う道路・護岸の欠壊など河川による災害が東日本を中心多く生じた。この河岸侵食は、河川工学上の重要な問題であるが、ほとんど護岸を施されていける大河川では災害時を除いて、それが観察されるのは、天塩川や宇治川低水路の一部ほど非常に限られている。したがって、現在、主に実験により、河岸侵食が詳しく研究されているが、観測がほとんど行われてないことが多い。そこで、その現地への適用にはほど遠い状況である。本文はその第一歩として、宇治川低水路での河岸侵食の実態を既存資料の解析と観測によって把握し、さらに河岸崩落に関して行なった実験の結果を述べる。

2.宇治川低水路における河岸侵食 図-1は宇治川43km地点付近の平面図である。斜線部は昭和37~43年の低水路左岸の後退量を示したものである。また、図-2には、高水敷面から約1~2m下の標高11mの低水路幅 B_L の変化をこの付近の4箇所断面について示しているが、明らかに43km地点の拡幅が目立つ。43km地点の横断形状は図-3のとおりで著しい荒掘低下部が左岸に偏り存在し、河岸侵食も継続している。43km地点が他の断面に比して拡幅の著しい理由としてはこの河岸形状以外に緩弯曲の頂点近くの水衝部に位置している(図-1)ことが考えられる。図-2には43km地点の約4km下流の淀量水標の年最大流量の変化を示しているが、年最大流量が $1500 \text{ m}^3/\text{s}$ を越える場合に B_L がかなり増加しているようである。このように拡幅速度と流量との関係を年最大流量、年最大日流量等を用いて検討した結果、43km地点の河岸侵食限界流量は $550 \text{ m}^3/\text{s}$ 程度と判断された。 $550 \text{ m}^3/\text{s}$ 時の掃流力を55年3月の横断図と約2km上流の向島量水標および先述の淀量水標の水位、流量曲線から求めた水面勾配と内挿水位によると推定すれば、約9.8%である。侵食限界時の浦辺平均の摩擦速度 U_{fr} は $U_{fr} = 10 \text{ cm/s}$ ぐらいである。これは河岸の粒径(図-6)から推定されるものよりも1オーダー程度大きく、河岸材料に大きな粘着力が働いていることを示している。一方、著しい拡幅をもたらした $1500 \text{ m}^3/\text{s}$ 時の掃流力

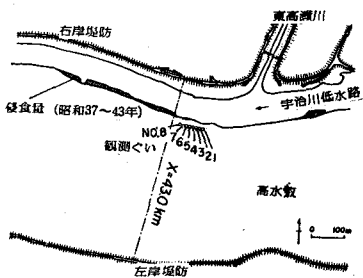


図-1 宇治川平面図

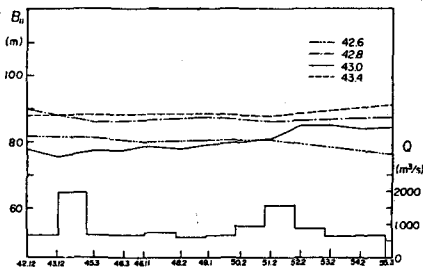
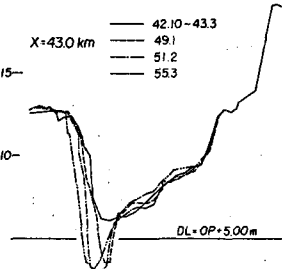
図-2 B_L と年最大流量の経年変化

図-3 横断河床形状の経年変化

表 観測の概要

Date	Measurement
June 7, 1980	Arrangement of the base line Measurement of distances from the pin to the river bank
March 6, 1981	Surveying by geodimeter Photographing of the bank Sampling of bank material
May 16, 1981	Photographing of the bank Flow measurement
Dec. 29, 1981 Jan. 6, 1982	Plane table surveying of the bank line

Yoshio MURAMOTO, Yuichiro FUJITA, Hirofumi MIYASAKA

の推定値は約19%である、天塩川で著しい侵食を生じる場合の推定値20%にほぼ等しい。

3. 宇治川における河岸侵食の観測／図-1の観測場所において、図-4のように木ぐいを10m間隔で8本打ち込み基線を設け、表のように4回の観測を行なった。これから河岸平面形状の測定結果及び2回目に進行した水準測量に基づいて作成した横断図を示せばそれが図-4及び図-5である。これらより、侵食を生じる箇所では2~3mも河岸が後退し、拡幅の進行は、河岸の平面形状が滑かに浮きようとして流れの方向に引き続いて起つていいようじあ、大きな崩落は向かつて生じると思われる。

つづく、2回目に採取した土砂の中央粒径 d_{50} を採取点の高さにつけて示せば図-6となり、粒度分布を三角座標で表せば図-7である。図-7では、河岸材料の平均粒径は上方ほど粗く、河岸材料の粘土分やシルト分は水面近くほど多いことがわかり、河岸の侵食抵抗が粘着力によつてもたらされていることがわかる。

4. 河岸崩落実験／宇治川の河岸でも随所にクラックが見られ、河岸崩落が生じてはしが、この河岸の崩落条件を調べるために実験を行なつた。水槽内に砂を入れ、水を与えて適当に締め固めて鉛直壁をつくり、鉛直壁に対し下から徐々に水を入れてはしが、崩落寸前の崩落幅 b_0 と崩落高さ h_0 を計測した。その結果を示せば図-8である。実験砂では粒径によらず図中の直線の関係 $b_0 = 0.8h_0$ が $h_0 = 1 \sim 100\text{ cm}$ のかなり広い範囲で成立する。また、FM2, FM3は前述の観測時に与えられた値で、 b_0 はクラック幅、 h_0 は水面より上方の河岸高さと、いいしが、これらも上式と良く対応している。一方、1実験につけて、開始前と崩落後の含水比を計測した結果が図-9である。初期含水比が上へ行くほど減少しており、水面近くではほぼ飽和しているものとみらされる。また、飽和域よりも上では毛管現象により砂が見かけの粘着力をもち、河岸を安定させていると考えられる。しかし、実河川ではみかけの粘着力よりも実質の粘着力が鉛直に近い河岸を保持させてるものと考えられる。

5. あとがき／今後、河岸侵食に及ぼす河床形状や弯曲など平面形状の影響の評価とともに、河岸材料の粘着力の定量化を進めていく必要がある。

《参考文献》 1) 村本・藤田・宮坂：昭55年関西年講

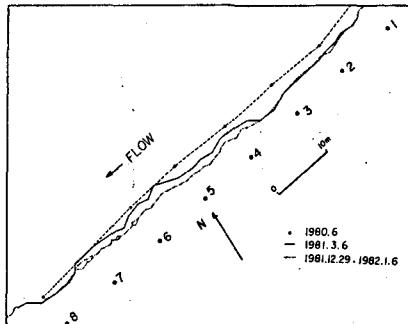


図-4 河岸線の変化

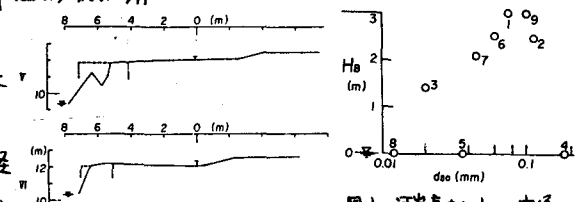


図-5 基線かい面内の横断図

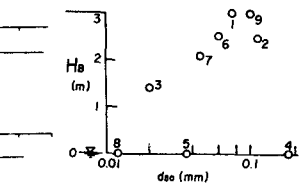


図-6 河岸高さと d_{50} の関係

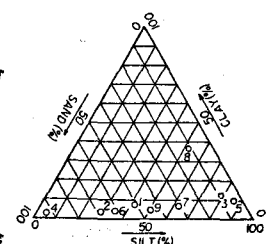


図-7 採取した土砂の粒度分布

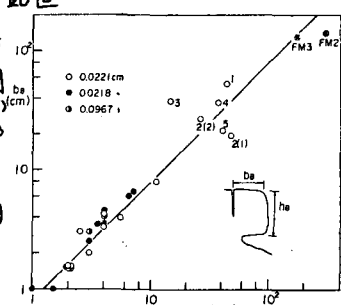


図-8 崩落幅と崩落高さの関係

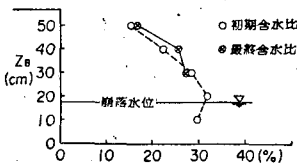


図-9 河岸高さと含水比の関係